

کاربرد مدل تحلیل رابطه ای خاکستری و زمین آمار در پهنه بندی زمین لغزش (منطقه مورد مطالعه روستای لیر سیاه علیا شهر دهدز)

علی شجاعیان^۱، نسرین آتش افروز^۲، نیلوفر آذربزین^۳

^۱ عضو هیئت علمی گروه جغرافیا و برنامه ریزی شهری، دانشگاه شهید چمران اهواز، خوزستان، ایران

^۲ کارشناسی ارشد جغرافیا برنامه ریزی و مدیریت توسعه پایدار روستایی، دانشگاه شهید چمران اهواز، خوزستان، ایران

^۳ کارشناس ارشد جغرافیا و برنامه ریزی شهری، دانشگاه اصفهان، اصفهان، ایران

چکیده

زمین لغزش یکی از پدیده‌های طبیعی است که در تحول و فرسایش اشکال زمین مشارکت دارد. این پدیده زمانی که جوامع انسانی را تحت تأثیر قرار می‌دهد می‌تواند به حادثه خطرناکی تبدیل شود که موجب خسارات جانی و مالی از جمله تخریب منابع طبیعی، تخریب مناطق مسکونی، از بین رفتن زمین‌های کشاورزی، جاده‌ها، تخریب پل‌ها، خطوط راه‌آهن، بسته شدن تونل‌ها، شکسته شدن سدها و تخریب دکلهای برق و ... می‌شود. با توجه به اینکه خطرپذیری جوامع انسانی در مطالعات مربوط به رویداد زمین لغزش کمتر مورد توجه قرار می‌گیرد در این پژوهش به پهنه‌بندی خطر زمین لغزش روستای لیر سیاه علیا با استفاده از مدل خاکستری پرداخته شده است. شبیب، جهت شبیب، ارتفاع، کاربری زمین، فاصله از شبکه آبراهه‌ها، توپوگرافی، میزان بارش به عنوان پارامترهای اصلی و مؤثر در پهنه‌بندی زمین لغزش حوضه موردنظر انتخاب و پس از تهیه لایه داده‌ها، برای تهیه نقشه پهنه‌بندی خطر زمین لغزش از مدل وزن دهی و تحلیل رابطه خاکستری در نرم افزار Arc GIS استفاده شد. نتایج حاصل از مدل وزن دهی و تحلیل رابطه خاکستری، و تطبیق با لغزش‌های روی داده در حوضه بیانگر آن است که پارامتر کاربری اراضی با بیشترین وزن (۰/۷۰۲۸) و شبکه آبراهه‌ها با وزن (۰/۷۱۴۲) و شبیب (۰/۰۶۸۹۲) کمترین وزن به دست آورده‌اند و سایر شاخص‌ها به ترتیب شامل، بارش، ارتفاع می‌باشد و کمترین وزن متعلق به لایه آبراهه‌ها می‌باشد. پس از هم‌پوشانی لایه‌ها نقشه پهنه‌بندی خطر زمین لغزش در ۵ گروه بسیار زیاد، زیاد، متوسط، کم، خیلی کم تهیه شد. بر اساس نتایج به دست آمده پهنه با خطر زمین لغزش بسیار زیاد مساحتی حدود ۲۹۴۷۰۳ مترمربع را دربرمی‌گیرد.

واژه‌های کلیدی: زمین لغزش، پهنه‌بندی، تحلیل رابطه‌ای خاکستری، GIS، روستا لیر سیاه علیا

۱- مقدمه

زندگی بشر از ابتدا همواره دست خوش تهدید و یا خطراتی از نوع طبیعی (زلزله، سیل، و آتش سوزی) یا مصنوعی (جنگ) بوده است. در میان این عوامل خطر زا، زلزله همواره جزء سوانحی با بالاترین تعداد تلفات بوده و طبق آمار ۶ درصد تلفات انسانی ناشی از آن بوده است (محمدی و همکاران ۱۳۹۱: ۳۲). یک واقعیت اساسی در مورد این سوانح این است که در مواجهه با چنین سوانحی در لحظه وقوع کار چندانی نمی‌توان انجام داد، در حالی که اثرات آنها را با برنامه‌ریزی از قبل می‌توان خنثی نمود یا به حداقل رساند (Undro, ۱۹۷۶). زمین لغزشها یکی از مهمترین پدیده‌های مخرب طبیعی هستند که در مناطق کوهستانی مشکلات جدی بوجود می‌آورند (Intarawichian N. and Dasananda S., ۲۰۱۰). حرکات توده‌ای و به ویژه زمین لغزش یکی از مهم ترین بلا یای طبیعی است. وجود عواملی همچون مستعدبودن شرایط ناهمواریها، بهره برداریهای بی رویه از جنگلهای رعایت نکردن اصول فنی احداث و نگهداری جاده‌های جنگلی و روستایی، عدم اعمال مدیریت صحیح و بهره برداری غیر اصولی از منابع موجود باعث تشدید آن شده است (پور قاسمی و همکاران، ۱۳۹۱، ۱۱۰). زمین لغزه شها که می‌توانند باعث تخریب جنگلهای، مراتع، اراضی زراعی، مسدود نمودن رودخانه‌ها و تشکیل سدهای طبیعی یا تغییر مسیر آنها (که با خطر شکسته شدن بعدی و با ایجاد فرسایش کناری در سوی دیگر رودخانه و خالی نمودن پنجه دامنه‌های مقابله همراه هستند)، تشدید اثر عوامل فرساینده در اثر بهم زدن استحکام طبیعی زمین و افزایش میزان رسوب در پشت سدها و دریاچه‌های طبیعی، سرریز آب در دامنه‌های ساحلی دریاچه‌های طبیعی و دریاچه‌های پشت سدها، آسیب رساندن به سازه‌های اجرا شده به منظور طرح‌های حفاظت خاک و آبخیزداری در محل‌های وقوع زمین لغزه می‌گردد. همچنین در پروژه‌های عمرانی، همچون انتخاب مسیر احداث بزرگراه‌ها و راههای اصلی و فرعی کوهستانی، انتخاب محل احداث سدهای خاکی، بتی و آب بندها و کانال‌های انتقال آب، احداث تونل‌های عبور و مروار و طرح‌هایی همچون توسعه جنگل‌ها و منابع طبیعی در گرو مطالعه پایداری شیب‌های طبیعی منطقه است که می‌توانند متأثر از لغزش‌ها باشند (عظیم پور، ۱۳۸۸: ۷۱). هرساله هزاران هکتار از خاک‌های کشاورزی و مرتقی مرغوب بر اثر روبداد پدیده زمین لغزش در آن‌ها، از قدرت باروری خارج می‌گردد و واریزه‌های بسیاری به درون آبراهه‌ها حمل می‌شوند. در اثر عملکرد فرسایش آبی بر روی توده‌های لغزشی که با بهم ریختن مواد تشکیل دهنده دامنه‌ها و سبب تبدیل آن‌ها از مصالح توده‌ای به مصالح منفصل و سست می‌شود و در نتیجه عملکرد عوامل فرساینده و افزایش رسوب زایی تسهیل می‌شود. نوع زمین لغزه‌ها می‌تواند از نظر میزان جابجایی مواد و میزان بهم ریختگی مواد نوع نهشته‌های درگیر شده، میزان تفاوت درجه‌بندی حساسیت سنگ‌ها و موقعیت زمین لغزه‌ها نسبت به شبکه‌های آبراهه‌ای منطقه و فاصله زمین لغزه‌های رخداده با آبراهه‌ها و رتبه‌بندی آبراهه‌ها در شدت فرسایش بر روی زمین‌های لغزیده شده متفاوت باشند (خطیبی، ۱۳۸۷، ۱۹۹، ۱۹۹)، وجود عواملی از قبیل مستعد بودن ناهمواری‌ها از نظر منشا ساختمانی و دینامیک، قطع درختان و بهره برداری‌های بی رویه از جنگلهای رعایت نکردن اصول فنی در نگهداری جاده‌ها جنگلی و روستایی، عدم مدیریت صحیح و بهره برداری غیر اصولی از منابع موجود سبب شده است که هر ساله خسارت‌های زیادی بر سکونتگاه‌ها و فعالیت‌های انسانی و منابع طبیعی تحمیل شود (شمسمی پور، ۱۳۸۹: ۵۴). زمین لغزش هر ساله در بسیاری از مناطق دنیا باعث کشته و مجروح شدن افراد زیادی می‌شود که این امر ضرورت توجه به این پدیده خطرناک را نمایان می‌سازد در ایران نیز مورد خسارات ناشی از حرکات توده ای مطالعاتی صورت گرفته که طبق گزارش، خسارات مربوط به ۴۹۰۰ زمین لغزش از با نک اطلاعاتی تا پایان شهریورماه ۱۳۸۶، ۱۲۶۸۹۳ میلیارد ریال برآورد گردیده است (پور قاسمی و همکاران، ۱۳۹۱، ۱۱۰). پنهانه بندی لغزش‌ها یکی از روش‌هایی است که می‌توان به کمک آن مناطق بحرانی را تعیین کرده و از نقشه‌های پنهانه بندی به دست آمده در برنامه ریزی‌ها استفاده کرد (عظیم پور، ۱۳۸۸: ۷۱). زمین لغزش‌ها در پنهانه‌های مختلف زاگرس و از جمله منطقه مورد مطالعه، با توجه به موقعیت زمین‌شناسی و مورفولوژی، سالیانه خسارات زیادی را به بار می‌آورند. با توجه به اهمیت و نقش این پدیده در پایداری دامنه‌ها، اراضی کشاورزی و توسعه نواحی شهری و روستایی و ... در پژوهش حاضر به بررسی عوامل مؤثر بر ایجاد زمین لغزش و شواهد موجود در منطقه مورد مطالعه پرداخته شده است.

۲- اهمیت و ضرورت تحقیق

روستا لیر سیاه علیا از جمله مناطقی که به دلیل بارندگی نسبتاً فراوان و به دلیل کوهستانی بودن منطقه و تغییر کاربری به شدت مستعد زمین لغزش می‌باشد. و در برخی مناطق این منطقه شواهدی از وقوع زمین لغزش مشاهده شده است. در این بین استفاده از مشاهدات زمینی از طریق نقشه برداری زمینی یکی از روش‌های تهیه نقشه‌های آسیب‌پذیری است که دارای مشکلات متعددی می‌باشد. سرعت کم جمع‌آوری اطلاعات بدليل دشوار بودن و یا عدم امکن دسترسی به تمامی مناطق آسیب‌پذیر از مهمترین مشکلات مطرح در این زمینه هستند. تصاویر هوایی و ماهواره‌ای یکی دیگر از راه‌های تهیه این نقشه هاست. نتایج تحقیقات و مطالعات انجام شده نشان می‌دهد که رویکرد به فناوری‌های نوین می‌تواند برای شناسایی مناطق خطر پذیر، مناسب باشند. در حال حاضر می‌توان از روش‌ها و مدل‌های تصمیم‌گیری چند معیاره سیستم اطلاعات جغرافیایی (GIS) و به صورت تلفیقی در امر تهیه‌ی نقشه پنهانی بندی زمین لغزش و آگاهی از مناطق پرخطر موجود استفاده نمود. که از جمله نیازهای اساسی در امر مدیریت بحران است که مدیران بر اساس آن اقدام به تصمیم‌گیری می‌کنند. در جهت رسیدن به مدیریت کارا و مناسب در هنگام وقوع بحران زمین لغزش، نیاز است که قبل از وقوع، به شناسایی و برنامه ریزی آن پرداخته شود تا تمام جوانب بحران سنجیده شود و راهکارها و نقشه‌های مقابله با آن در اختیار مدیران قرار گیرد. به همین دلیل تحقیق و پژوهش در این زمینه قبل از وقوع بحران ضررот انکار ناپذیری دارد.

۳- پیشینه‌ی تحقیق

ارومیه‌ای و همکاران در سال ۱۳۸۴ مقاله‌ای تحت عنوان پنهانی بندی خطر زمین لغزش در حوضه آبریز سد بالایی سیاه بیشه توسط ارومیه‌ای و همکاران با استفاده عوامل مؤثر در ناپایداری شیب‌ها در منطقه مورد بررسی با توجه به شرایط محیطی: جنس سنگ‌ها و خاک‌ها، فاصله از گسل، میزان شیب دامنه‌ها، فاصله از محور جاده و پراکندگی آبراهه‌ها تشخیص داده شد. لایه‌های اطلاعاتی پارامترهای مؤثر در ناپایداری شیب‌ها با تهیه شدند. در پایان نقشه پنهانی بندی منطقه قسمتهای مستعد لغزش را در پنج رده تهیه گردید (ارومیه‌ای و همکاران، ۱۳۸۴، ۱۲۵).

امیر احمدی در سال ۱۳۸۹ به پنهانی بندی خطر زمین لغزش چلاو آمل با استفاده از روش AHP و GIS حوضه پرداخته است و به این نتیجه رسیده است که به ترتیب عوامل زمین‌شناسی، خاک‌شناسی، عناصر خطی، شیب، بارش، کاربری اراضی و ارتفاع به عنوان مهم‌ترین عوامل موثر زمین لغزش شناسایی شدند (امیر احمدی، ۱۳۸۹، ۱۸۱). فرداد و همکاران در سال ۱۳۹۰ در مورد پنهانی بندی حساسیت خطر زمین لغزش با روش‌های منطق فازی و شبکه عصبی نمودند و به این نتیجه رسیدند که در روش فازی با دخالت نظر کارشناس خبره و انتخاب بهینه عملگر فازی جوانی بهینه و منطبق بر محیط طبیعی حاصل می‌شود (فرداد و همکاران، ۱۳۹۰، ۱).

کوروش شیرانی در سال ۱۳۹۱ در مقاله‌ای تحت عنوان پنهانی بندی پتانسیل خطر زمین لغزش به روش تحلیل سلسه مراتبی (AHP) و رگرسیون چند متغیره (MR) از مدل‌های تصمیم‌گیری چند معیاری (MADM) مطالعه موردی: سراب، حوضه کارون شمالی به پنهانی بندی زمین لغزش اقدام نموده است. تجزیه و تحلیل نتایج به دست آمده نشان داد، هر دو روش، دارای دقت یکسانی در جداسازی پنهانه‌های رده‌های خطر با شاخص زمین لغزش مشخص می‌باشند. اما روش سلسه مراتبی مبتنی بر دادهای رگرسیونی، بر پایه شاخص مجموع کیفیت که به عنوان شاخص صحت از آن یاد می‌گردد، دارای مطلوبیت بیشتری می‌باشد. این مسئله ناشی از بکارگیری تمامی متغیرهای ۵۴ متغیر ناشی از عملکرد ذاتی و همزمان تمامی پدیده‌های طبیعی و دخیل در رخداد زمین‌لغزش می‌باشد. براساس روش آماری چند متغیره، فقط ۳۰ متغیر از مجموع ۵۴ متغیر در سطح ۹۵% و ۹۹% معنی دار بوده و مابقی اختلاف معنی داری ندارند. ضریب ۰.۶۷ معادله رگرسیون ۵۷% به دست آمد که کاملاً قابل قبول می‌باشد (شیرانی، ۱۳۹۱، ۱۸۵).

ملکیان و همکاران در سال ۱۳۹۲، در مقاله‌ای با عنوان کاربرد و مقایسه مدل‌های تحلیل خوش بندی خاکستری و آنالیز سلسه مراتبی در مکان‌یابی عرصه‌های مناسب پخش سیالاب حوزه آبخیز گربایگان، از مدل آنالیز خوش بندی خاکستری

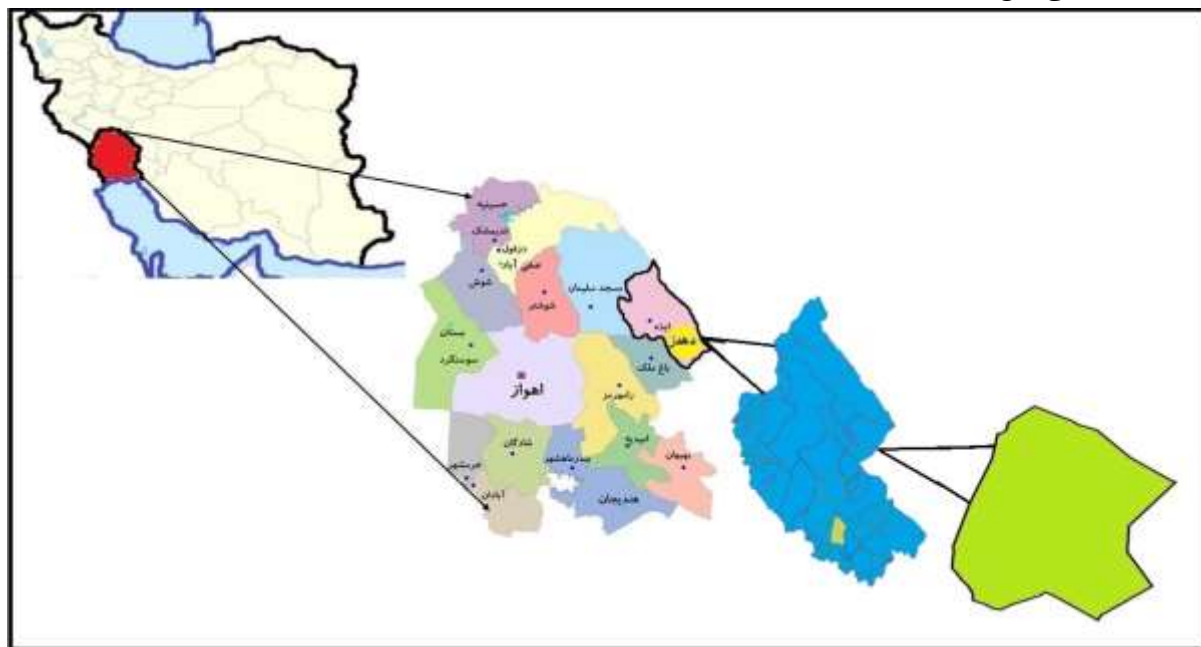
(GCA)، و تحلیل سلسه مراتبی (AHP) استفاده گردیده است. نتایج به دست آمده به پهنه بندی سیلان بر اساس مدل آنالیز خوش ای خاکستری پرداخته است (ملکیان و همکاران، ۱۳۹۲، ۳۵).

تحقیقی از جمله بیسکوچیت در سال (۲۰۱۰)، به ارزیابی پهنه بندی خطر زمین لغزش با استفاده از شبکه عصبی مصنوعی و تحقیقی از جمله بیسکوچیت رگرسیون لجستیک پرداخته و بعد از پهنه بندی خطر زمین لغزش با هر دو روش لجستیک و روش شبکه عصبی مصنوعی به این نتیجه رسیده است که نتایج حاصل از روش شبکه عصبی مصنوعی از روش لجستیک بهتر و دقیق تراست، در این مطالعه ۹۸٪ از لغزش‌های رخ داده در واحدهای سازندهای زمین شناسی حساس به هوازدگی، زمین به پهنه بندی خطر زمین لغزش با روش شبکه عصبی بدون پوشش و شیب بالا رخداده است.

شیوان در سال (۲۰۱۰)، به پهنه بندی خطر زمین لغزش با روش شبکه عصبی مصنوعی پرداخته است و به این نتیجه رسیده است که شبکه عصبی مصنوعی به عنوان یک مدل قابل اطمینان جهت پهنه بندی خطر زمین لغزش است و در این مطالعه عوامل شیب، جهت شیب، سنگ شناسی به عنوان عوامل موثر در زمین لغزش شناسایی شدند (Shivani C., 2010).

۴- معرفی محدوده مورد مطالعه

روستا لیر سیاه علیا در مختصات جغرافیایی "۵۱° ۱۷' ۵۰" تا "۲۱° ۱۹' ۵۰" طول شرقی و "۳۶° ۳۱' ۲۱" تا "۳۸° ۳۱' عرض شمالی واقع شده است. مساحت روستا ۵۷۸.۵۱ هکتار است.



شکل شماره ۱: محدوده مورد مطالعه

۵- روش تحقیق

پژوهش حاضر از نظر نوع، توصیفی- تحلیلی و از لحاظ هدف، کاربردی- عملی می باشد. ابزار گردآوری اطلاعات در این پژوهش پیمایشی و کتابخانه ای است که اطلاعات و داده های آن از طریق جمع آوری نظرات کارشناسان و منابع آماری استان جمع آوری می شود . برای جمع آوری متغیرهای پژوهش از منابع آماری گوناگون استفاده خواهد شد در نهایت این اطلاعات و داده ها با مدل رابطه ای خاکستری مورد تجزیه و تحلیل قرار خواهد گرفت.



شکل شماره ۲: نمودار عامل های مورد مطالعه در پنهن بندی زمین لغزش لیرسیاه علیا

۱-۵ روش تحلیل رابطه‌ای خاکستری

تحلیل رابطه‌ای خاکستری^۱ را نخستین بار، دنگ^۲ مطرح کرد. این تئوری برای حل مسائل مبهم و مسائلی که داده‌های گستته و اطلاعات ناقص دارند به کار می‌رود. این تئوری با استفاده از اطلاعات نسبتاً کم و با تغییرپذیری بسیار در معیارها، خروجی‌های رضایت بخش و مطلوبی را ایجاد می‌کند. تئوری خاکستری، همچون تئوری فازی، یک مدل ریاضی اثربخش برای حل مسائل نامشخص و مبهم است (Deng, J. L., 1982). این تئوری در زمینه‌های بسیار، نظری حل مسائل تصمیم‌گیری چند معیاره، با نام تحلیل رابطه‌ای خاکستری به کار گرفته شده است. تحلیل رابطه‌ای خاکستری جزئی از تئوری خاکستری، است که برای حل مسائلی به کار می‌رود که از روابط پیچیده‌ای بین عوامل و متغیرهایشان برخوردارند (Mora'n, J., 2006) و همکاران). تئوری سیستم‌های خاکستری، الگوریتمی است که روابط غیرقطعی اعضاً یک سیستم با یک عضو مرجع را تحلیل می‌کنند و قابلیت استفاده در حل مسائل تصمیم‌گیری چندمعیاره را دارد. جزئیات فرایند تحلیل رابطه‌ای خاکستری به این شرح است: ایجاد رابطه خاکستری^۳: زمانی که واحدهای اندازه‌گیری عملکرد شاخص‌های مختلف متفاوتند، ممکن است تأثیر برخی از شاخص‌ها نادیده گرفته شود. همچنین زمانی که برخی شاخص‌های عملکرد از دامنه گسترده‌ای برخوردارند، ممکن است چنین اتفاقی روی دهد. همچنین اگر هدف یا جهت این شاخص‌ها تفاوت داشته باشند، نتایج نادرست در تحلیل‌ها به وجود می‌آید (Huang, J. T., & Liao, Y. S. 2003). بنابراین، تبدیل کلیه ارزش‌های عملکردی هر گزینه به یک سری مقایسه‌ای در فرایندی مشابه نرمالیزه کردن، ضروری به نظر می‌رسد. این پردازش، گام ایجاد روابط خاکستری در تئوری سیستم‌های خاکستری نامیده می‌شود.

بنابراین به منظور ایجاد اعداد خاکستری و به علت تطابق بیشتر و تدقیق نتایج، از اعداد موجود در جدول شماره ۱ استفاده شده است.

1. Grey Relational Analysis (GRA)

2. Deng

3. Grey Relational Generating

جدول شماره ۱. مقیاس اعداد خاکستری (د邦گی و همکاران، ۷۲، ۱۳۸۹)

مقیاس عدد خاکستری	متغیر زبانی
(۱,۰)	خیلی ضعیف
(۱,۴)	ضعیف
(۴,۶)	متوسط
(۶,۹)	خوب
(۹,۱۰)	خیلی خوب

در یک مسئله تصمیم‌گیری چند شاخصه که دارای m گزینه و n شاخص است، i امین گزینه را می‌توان به صورت عبارت $y_i = (y_{i1}, y_{i2}, \dots, y_{ij}, \dots, y_{in})$ بیان نمود، به طوری که عبارت است از ارزش عملکردی شاخص j برای گزینه i عبارت Y_i را می‌توان به کمک یکی از روابط (۱)، (۲) و یا (۳) به سری مقایسه‌ای $X_i = (x_{i1}, x_{i2}, \dots, x_{ij}, \dots, x_{in})$ تبدیل نمود.

$$x_{ij} = \frac{y_{ij} - \min\{y_{ij}, i=1, 2, \dots, m\}}{\max\{y_{ij}, i=1, 2, \dots, m\} - \min\{y_{ij}, i=1, 2, \dots, m\}} \quad (1)$$

$$i = 1, 2, \dots, m \quad j = 1, 2, \dots, n$$

$$x_{ij} = \frac{\min\{y_{ij}, i=1, 2, \dots, m\} - y_{ij}}{\max\{y_{ij}, i=1, 2, \dots, m\} - \min\{y_{ij}, i=1, 2, \dots, m\}} \quad (2)$$

$$i = 1, 2, \dots, m \quad j = 1, 2, \dots, n$$

$$x_{ij} = \frac{|y_{ij} - y_j^*|}{\max\left\{\max\{y_{ij}, i=1, 2, \dots, m\} - y_{ij}^*, y_{ij}^*\right\}} \quad (3)$$

$$i = 1, 2, \dots, m \quad j = 1, 2, \dots, n$$

رابطه (۱) برای شاخص "هرچه بزرگتر، بهتر"، رابطه (۲) برای شاخص "هرچه کوچکتر، بهتر" و رابطه (۳) برای حالته که هر چه به ارزش مطلوب y_j^* نزدیک‌تر باشد بهتر است، مورد استفاده قرار می‌گیرند.
تعریف سری‌های هدف مرجع^۴: پس از ایجاد روابط خاکستری با استفاده از معادلات (۱)، (۲) و یا (۳)، تمامی ارزش‌های عملکردی در مقیاس [۰ و ۱] قرار می‌گیرند. اگر برای یک شاخص j در گزینه i ، ارزش x_{ij} که از فرایند ایجاد رابطه خاکستری ایجاد شده، برابر با ۱ بوده یا از ارزش مربوط به هر گزینه دیگری به ۱ نزدیک‌تر باشد، بدین معناست که عملکرد گزینه i در شاخص j از سایر گزینه‌ها بهتر است. بنابراین، اگر برای گزینه‌ای تمامی ارزش‌های عملکردی، یک باشد، این گزینه، بهترین انتخاب خواهد بود. این مقاله، سری مرجع هدف را به صورت $X = (x_{11}, x_{12}, \dots, x_{jn}, \dots, x_{nn}) = (1, 1, \dots, 1, \dots, 1, \dots, 1)$ تعریف می‌کند و آنگاه به جستجوی گزینه‌ای می‌پردازد که سری‌های مقایسه‌ای‌اش، نزدیک‌تر به این سری هدف باشند.

محاسبه ضریب رابطه‌ای خاکستری: ضریب رابطه‌ای خاکستری برای تعیین نزدیکی x_{ij} به x_j مورد استفاده قرار می‌-

1. Reference Sequence Definition

گیرد. هرچه ضریب رابطه‌ای خاکستری، بزرگ‌تر باشد x_{ij} به x_{ij} نزدیک‌تر است. ضریب رابطه‌ای خاکستری را با استفاده از رابطه (۱۳) می‌توان محاسبه نمود:

$$\gamma(x_{ij}) = \frac{\Delta Min + \zeta \Delta Max}{\Delta_{ij} + \zeta \Delta Max} \quad i = 1, 2, \dots, m \quad j = 1, 2, \dots, n$$

(۴) در رابطه (۱۳)، $\gamma(x_{ij})$ ضریب رابطه‌ای خاکستری میان x_{ij} و x_{ij} را نشان می‌دهد که در آن:

$$\Delta_{ij} = x_{ij} - x_{ij}$$

$$\Delta Min = Min\{\Delta_{ij}, i = 1, 2, \dots, m; j = 1, 2, \dots, n\}$$

$$\Delta Max = Max\{\Delta_{ij}, i = 1, 2, \dots, m; j = 1, 2, \dots, n\}$$

$$\zeta \in [0, 1] = \text{ضریب تشخیص}$$

هدف از به کارگیری ضریب تشخیص، گسترش یا محدود ساختن دامنه ضریب رابطه خاکستری است.

محاسبه رتبه رابطه‌ای خاکستری: پس از محاسبه تمامی ضرائب رابطه‌ای خاکستری $\gamma(x_{ij})$ ، رتبه رابطه‌ای خاکستری را با استفاده از رابطه (۱۴) می‌توان محاسبه نمود:

$$\Gamma(x_i) = \sum_{j=1}^n w_{j\gamma}(x_{ij}) \quad i = 1, 2, \dots, m \quad (5)$$

رابطه (۵)، رتبه رابطه‌ای خاکستری را بین x_i و x_{ij} نشان می‌دهد. در واقع، این عبارت، میزان همبستگی سری مرجع هدف و سری مقایسه‌ای را نشان می‌دهد. w_j ، وزن شاخص j است که معمولاً به قضاوت تصمیم‌گیرنده یا به ساختار مساله پیشنهادی بستگی دارد. به علاوه، $\sum_{j=1}^n w_j = 1$ (Fung, C. P. 2003). همان‌طور که پیشتر ذکر شد، بر روی هر شاخص، سری مرجع هدف، نشان‌دهنده بهترین عملکردی است که در میان سری‌های مقایسه‌ای قابل حصول است. بنابراین، اگر یک سری مقایسه‌ای برای یک گزینه، بالاترین رتبه رابطه‌ای خاکستری را با سری مرجع هدف داشته باشد، بدین معناست که این سری مقایسه‌ای، دارای بیشترین شباهت با سری مرجع هدف است و لذا این گزینه، بهترین انتخاب است.

۶- عوامل موثر در ایجاد زمین لغزش شهر دهدز

۶-۱- شیب دامنه

شیب در شکل هیدروگراف و ظرفیت نفوذ پذیری خاک موثر است. هرچه شیب بیشتر باشد بیشتر تحت تاثیر فرسایش قرار می‌گیرد. پدیده زمین لغزش عموماً در شیب‌های بیش از ۲۵ درصد و بخصوص شیب‌های بالای ۴۰ درصد جلوه نموده اند. بنابراین، شیب دامنه‌ها در ظهور پدیده‌های ریزش و لغزش به عنوان یک عامل لازم (و نه یک عامل قطعی و کافی) عمل می‌نماید (مهدوی ۱۳۸۵، ۲۰۷). بیشترین درصد از مساحت حوضه را شیب ۳۰-۶۰ درصد بیشترین مساحت منطقه را تشکیل می‌دهد. جهت تحلیل ارتباط این عامل با رویداد زمین لغزش لایه شیب براساس درجه و در عطبقه تهیه گردید، و به شیب بالاتر امتیاز کمتر و شیب پایین امتیاز بالا داده شده است.

جدول شماره ۲. تقسیمات شیب در منطقه

مساحت کل	>%۶۰	%۳۰-۶۰	شیب	%۲۰-۳۰	شیب	%۵-۱۲	شیب %۰-۵	مساحت
۱۹۹۹.۵	۱۳.۵	۱۵۱.۵	۷.۸	۰.۱۵	۰	ha		

۶-۲- جهت شیب

جهت شیب نقش موثری در پتانسیل لغزش دارد. تغییر شیب دامنه‌ها ممکن است بطور طبیعی یا بطور مصنوعی ایجاد شده باشند (احمدی ۱۳۷۴، ۷). در محدود مورد مطالعه مساحتی در حدود ۱۵۲/۷ هکتار جهت شیب در جهت غرب، و مساحتی

حدود ۱۱۳/۹ هکتار در جهت جنوب شرق و کمترین مساحت ۰/۱ در هکتار در جهت شمال می باشد. با توجه به تغییر میزان تابش خورشید در جهت های مختلف که موجب تغییر در میزان رطوبت و دمای عرصه می شود، جهت جغرافیائی در بروز زمین لغزش منطقه تأثیر می گذارد.

۳-۶- بارش

بارندگی های در منطقه در ظهور پدیده های ریزش و لغزش نقش مهمی را ایفا می نماید. میانگین سالانه بارش ۵۸۹/۶ میلیمتر در سال است. بنابراین با توجه به نوع متغیر برای فازی سازی از تابع خطی استفاده گردید بدین ترتیب که به مناطق دارای بارش کمترامتیاز نزدیک به ۱ و مناطق با بارش بالا امتیاز نزدیک به صفر تعلق می گیرد.

۴-۶- کاربری زمین

کاربری زمین از عواملی است که میتواند در جهت ناپایداری شیب موثر واقع شود . یکی از موارد بارز تغییر کاربری زمین، تبدیل زمین ها و نواحی شیب دار جنگلی به زمین های کشاورزی و مرتعی است (صدوق ۱۳۸۹.۳۶). مردم ساکن این مناطق بطور سنتی از این جنگلها جهت تامین چوب آلات مورد نیاز ساختمانی، هیزمی، دامداری و حتی کشاورزی استفاده بعمل آورده اند که این بهره برداریها در گذشته با شدت زیادی انجام شده که نتایج آن تخریب جنگلها و کاهش سطح آنها بوده است. بطور کلی تنها نقش فعالیت انسانی در حرکات توده ای مهم نیست بلکه نوع فعالیت های انسانی (کاربری زمین) بسیار مهم است.



شکل شماره ۳. لغزش در سازند آگاجاری و بختیاری لیر سیاه



شکل شماره ۴. تخریب جنگل و تبدیل آنها به اراضی کشاورزی لیرسیاه علیا

۶-۵-ارتفاع

روستا لیر سیاه علیا تقریباً از کلیه جهات به ارتفاعات محدود می‌شود قسمتهایی از شمال و جنوب حوضه را دشت‌ها و اراضی هموار تشکیل می‌دهند. حداقل ارتفاع حوضه ۲۰۰۰ متر و حداقل ارتفاع ۸۰۰ متر از سطح دریا می‌باشد. محدوده ارتفاعی ۱۲۰۰-۸۰۰ متر بیشترین مساحت از سطح حوضه را تشکیل می‌دهد. گزارش زمین شناسی دهدز، (۱۳۸۴، ۲۰) بنابراین هرچه ارتفاع بالاتر امتیاز کمتر صفر و هرچه مناطق دارای ارتفاع کمتر امتیاز یک داده شده است.

۶-۶-آبراه‌ها

به دلیل عمل زیر بری دامنه‌ها که به طور طبیعی توسط آبراهه‌ها و یا به طور مصنوعی توسط انسان هنگام احداث جوی‌ها و کانال‌های آب صورت می‌گیرد (صدقو، ۳۶: ۱۳۸۹) آبراهه‌ها بعنوان یک عامل محرك در ناپایداری دامنه‌ها محسوب می‌شوند. وجود آبراهه‌ها در پای دامنه‌های لغزشی باعث فرسایش مواد و عاملی برای ایجاد لغزش‌های بعدی است (Mutreja, K N. 1994)

۷-۶-توپوگرافی

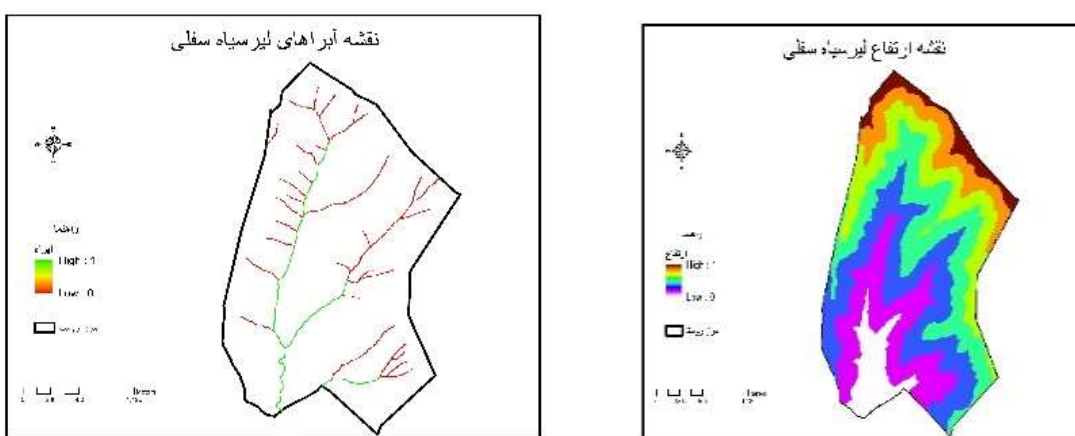
توپوگرافی منطقه مورد مطالعه بصورت کوهستانی جنگلی می‌باشد، بیشترین شیب بین شیب ۳۰-۶۰ درصد می‌باشد و بالاترین ارتفاع منطقه ۱۲۰۰ متر می‌باشد.

۷-تعريف توابع عضویت پارامترها

هدف از تعریف تابع عضویت برای فاکتورها، وزن دهی تدریجی و پیوسته به آن فاکتورهای است. در این حالت وزن هر پیکسل براساس مقدار تابع عضویت آن پیکسل در مجموعه فازی مناسب فاکتور مورد نظر بدست می‌آید. انتخاب توابع عضویت به منظور پنهان‌بندی لغزش زمین اهمیت به سازی دارد (عفتی، ۱۳۹۰، ۵) لذا با توجه به ماهیت هر فاکتور تابع عضویت هر لایه در بخش fuzzy membership تعیین گردید. بدین ترتیب که در پژوهش حاضر برای تمام لایه‌ها که ماهیت پیوسته دارند تابع Liner تعريف گردید بدین ترتیب که با افزایش مقادیر درجه عضویت آن افزایش و یا بر عکس با کاهش معیار درجه عضویت کمتر می‌شود. در ادامه نقشه‌های استاندارسازی براساس وزن‌های مدل خاکستری، عوامل موثر در زمین لغزش لیر سیاه علیا می‌باشد.

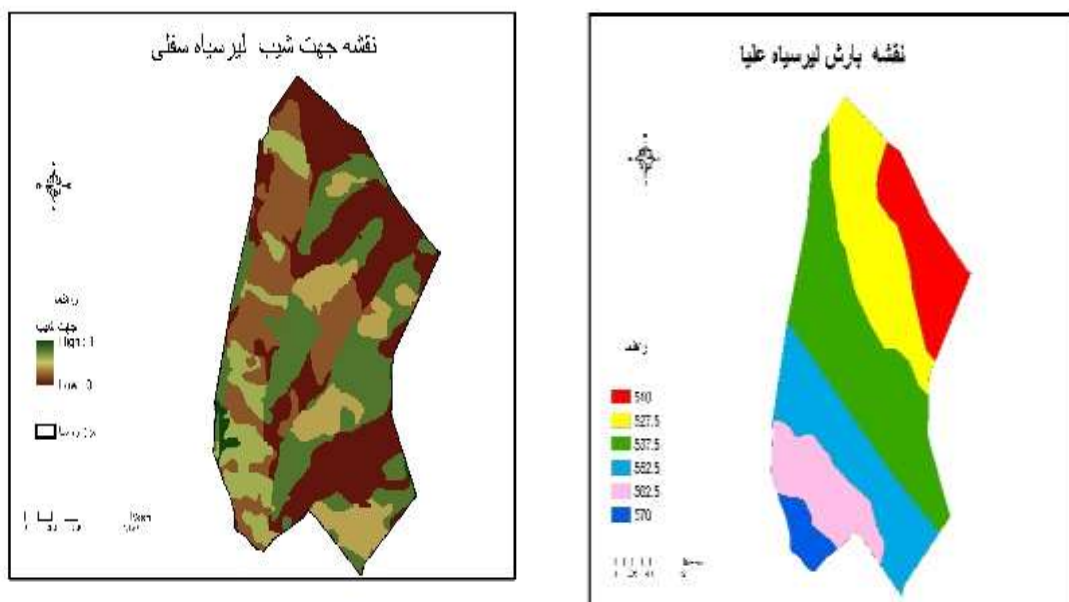
شکل شماره ۶. فاصله از آبراهه‌ها

شکل شماره ۵. طبقات ارتفاعی



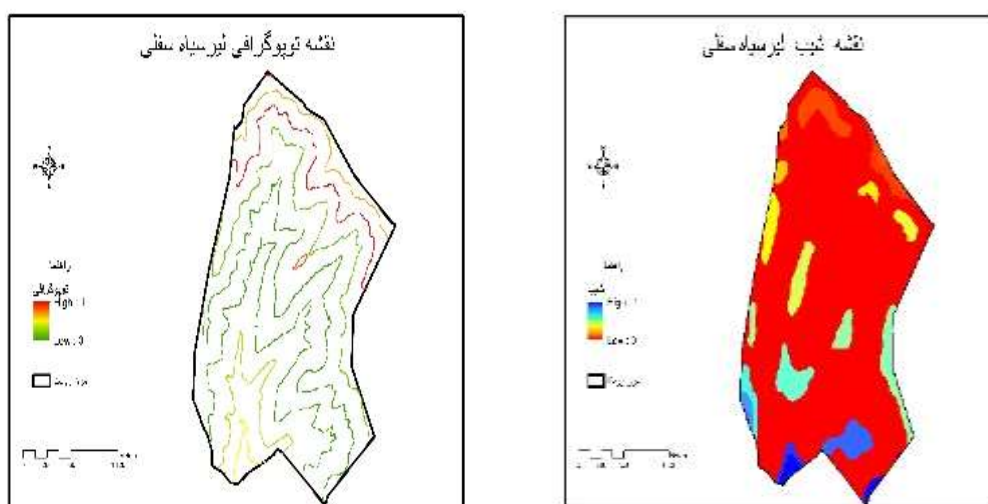
شکل شماره ۸. جهت شب حوضه

شکل شماره ۷. پراکندگی بارش حوضه

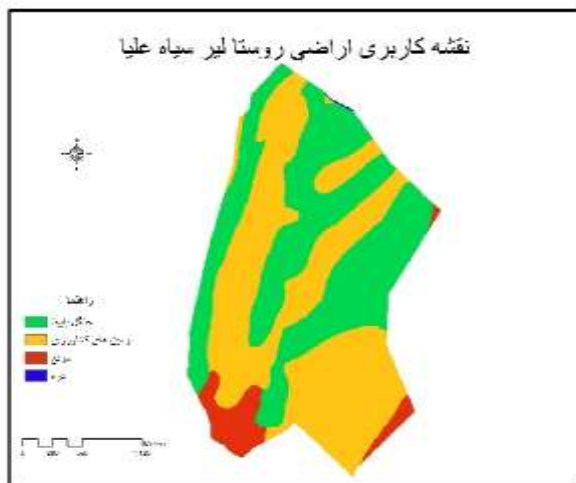


شکل شماره ۱۰. توپوگرافی حوضه

شکل شماره ۹. شب



شکل شماره ۱۱. کاربری اراضی حوضه



نتایج حاصل از تحلیل رابطه ای خاکستری

جدول شماره ۳. ضریب رابطه ای خاکستری روستای لیر سیاه علیا

روستای لیر سیاه علیا	شاخص
۰/۶۶۶	جهت شیب
۰/۶۵۶	کاربری اراضی
۰/۷۰۵۹	بارش
۰/۷۰۵۹	ارتفاع
۰/۶۸۷	شیب
۰/۶۶۶	پوشش گیاهی
۰/۶۲۲	آبراه

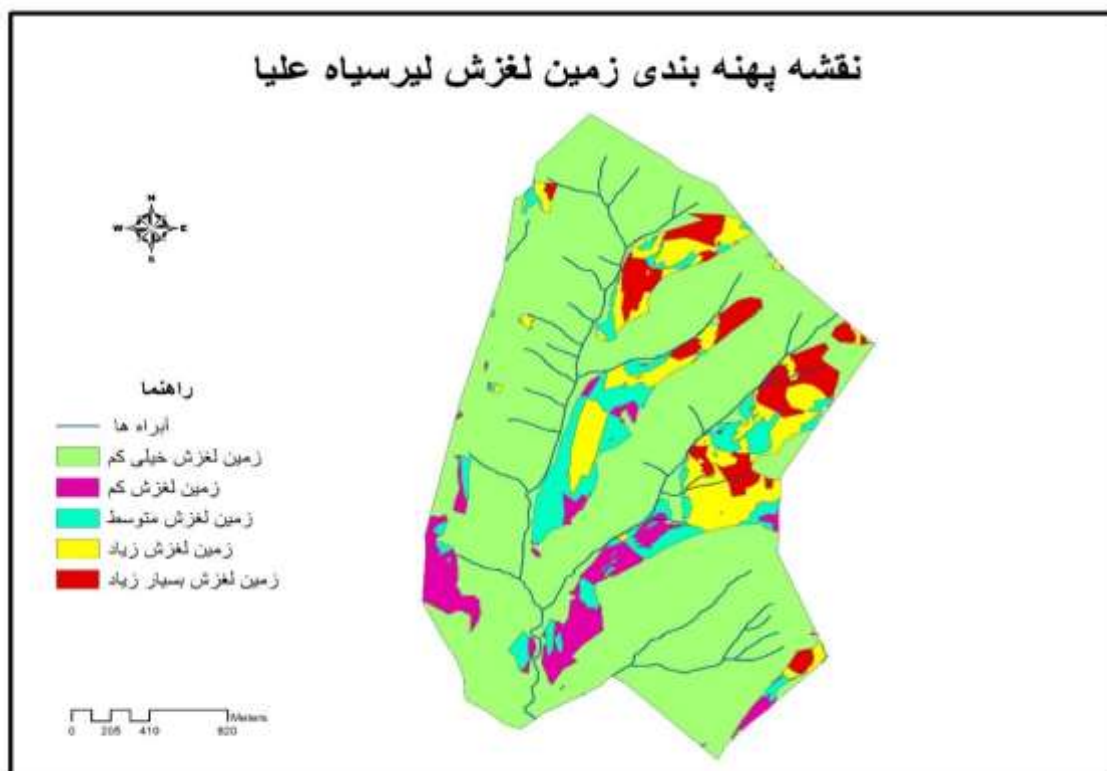
جدول شماره ۴. رتبه رابطه ای خاکستری هر شاخص

آبراه	ارتفاع	بارش	کاربری اراضی	جهت شیب	شیب	لیر سیاه علیا	رتبه رابطه ای خاکستری
۰/۶۸۹۲	۰/۶۹۹۲	۰/۷۱۱۱	۰/۷۰۲۸	۰/۷۱۳۷	۰/۷۱۴۲		

بنابراین مدل تحلیل رابطه ای نتایج بهتری را در رابطه با برآورد وزن معیارها فراهم می آورد. بدین ترتیب می توانیم در هر سیستمی مشخصه ها دارای بیشتری هستند، یافته و از بین فاکتورهای مورد بررسی، فاکتور های با بیشترین اهمیت و مطلوبیت را که قادر به تشریح و شناسایی نماییم (کریمی و صادقی مقدم، ۱۳۹۳، ۱۴۰). همچنین مطالعه و پیاده سازی مدل پنهنه بندی عرصه های مستعد زمین لغزش از قطیعت های موجود و رسیدن به نتایج منطقی تر، از دیگر دلایل استفاده از نظریه نظری نظام های خاکستری و مدل تحلیل رابطه ای خاکستری می باشد(ملکیان و همکاران، ۱۳۹۲، ۴۵).

۷-۱- هم پوشانی لایه های اطلاعاتی

بعد از اینکه هریک از نقشه ها را با استفاده از وزن های تحلیل رابطه ای خاکستری تهیه شد، با استفاده از همپوشانی لایه ها در محیط GIS نقشه پهنه بندی خطر زمین لغزش روستا لیر سیاه علیا تهیه گردید که طبقات خطر هریک از مناطق بدست آمد (شکل شماره ۱۲۵).



شکل شماره ۱۲۵. نقشه پهنه بندی زمین لغزش لیرسیاه علیا

۸- بحث و نتیجه‌گیری

زمین لغزه (رانش زمین) حاصل فرآیندهای متنوع و پیچیده‌ای است که در اغلب مناطق با توپوگرافی بالا بوقوع می‌پیوند. وجود عواملی همچون مستعد بودن شرایط ناهمواریها، بهره برداری های بی رویه از جنگلهای رعایت نکردن اصول فنی احداث و نگهداری جاده های جنگلی و روستایی عدم اعمال مدیریت صحیح و بهره برداری غیر اصولی از منابع موجود باعث تشدید آن شده است. زمین لغزش هر ساله در بسیاری از مناطق دنیا باعث کشته و مجرح شدن افراد زیادی میشود که این امر ضرورت توجه به این پدیده خطرناک را نمایان می سازد. با بررسی های انجام شده و با استفاده از نتایج بدست آمده در مدل تحلیل رابطه ای خاکستری در منطقه مورد مطالعه آثاری مبنی بر تخریب در اثر عوامل طبیعی در سطح وسیع مشاهده نمی شود ولی تخریب در اثر قطع یکسره، احداث جاده، چرای شدید، کوبیدگی خاک، فرسایش های سطحی و شیاری، تبدیل جنگلهای به مرتع و زراعت در تمام عرصه های با شیب کمتر از ۶۰٪ مشاهده می گردد. نتایج حاصل تحلیل رابطه ای خاکستری نقشه پهنه بندی زمین لغزش به صورت نقشه ارایه شده است (شکل ۱۰).

با توجه نقشه پهنه بندی بدست آمده، و براساس ۷ عامل موثر بر زمین لغزش در قالب لایه های مختلف اطلاعاتی سطوح با ریسک خیلی زیاد تا خیلی کم شناسایی شدند، و شامل مناطق با خطر زمین لغزش بسیار کم که مساحت ۴۳۰۵۶۸ متر مربع شامل می شود و مناطق با زمین خطر زمین لغزش کم مساحت ۲۹۵۰۳۳ متر مربع، مناطق با خطر زمین لغزش متوسط دارای مساحتی حدود ۴۲۳۷۴۶ متر مربع می باشد، مناطق با خطر زمین لغزش زیاد مساحت ۴۶۵۴۳۱ متر مربع، مناطق با خطر

زمین لغزش خیلی زیاد مساحتی حدود ۲۹۴۷۰۳ متر مربع را شامل می‌شود. که در قسمت جنوبی شرق حوضه علی رغم وجود رودخانه بعلت شبیه اندک لغزش کم می‌باشد. و بیشترین خطر متوجه مناطق شرق، مرکز، شمال شرق می‌باشد. جاهایی که شبیه بیشتر و تراکم آبراهه‌ها بهم رسیده‌اند، شاهد خطرپذیری مناطق می‌باشیم. بنابراین اگر تمهیداتی برای کنترل آبراهه‌ای سطحی در حوضه ایجاد نگردد این مناطق کم کم به مناطق پر خطر تبدیل می‌شود.

منابع

۱. احمدی حسن (۱۳۷۴)، *ژئومورفولوژی کاربردی*، جلد یک، فرسایش آبی، انتشارات دانشگاه تهران.
۲. ارومیه‌ای، علی، غیومیان، جعفر، باقری، حمید، حاجی‌حسنی، حمید رضا (۱۳۸۴)، پهنه‌بندی خطر زمین لغزش در محدوده حوضه آبریز سد بالای سیاه بیشه، نهمین همایش انجمن زمین‌شناسی ایران ۱۳۸۴.
۳. امیر احمدی، ابوالقاسم (۱۳۸۹)، پهنه‌بندی خطر زمین لغزش با استفاده از روش تحلیل سلسله مراتبی (AHP) مطالعه موردی حوضه آبخیز چلاو آمل، *فصلنامه علمی-پژوهشی انجمن جغرافیای ایران*، سال هشتم، شماره ۱۳۹۱.
۴. پورقاسمی، حمید رضا، مرادی، حمیدرضا، محمدی، مجید، مصطفی‌زاده، رئوف، گلی جیرنده، عباس (۱۳۹۱)، پهنه‌بندی خطر زمین لغزش با استفاده از تئوری بیزین، مجله علوم و فنون کشاورزی و منابع طبیعی، علوم آب و خاک، سال شانزدهم، شماره شصت و دوم.
۵. دیاغی، آزاده، ملک، امیر مهدی، شفیعی، ملک (۱۳۸۹)، معرفی ابزار خاکستری در ارزیابی فرهنگ سازمانی GOCAI و پیاده سازی آن در معاونت مهندسی و ساختار و بهره وری شرکت ملی نفت ایران (۱۳۸۹)، *فصلنامه علمی و پژوهشی مدیریت و منابع انسانی در صنعت*، سال چهارم، شماره ۱۳۹۳.
۶. شرکت ملی نفت ایران (۱۳۸۴)، *گزارش مطالعات زمین‌شناسی، آب شناسی و ژئوفیزیک پروژه تأمین آب تلمبه خانه‌های شماره ۴ و ۵* دهدز تهیه شده توسط مهندسین مشاور زمین آراء فارس.
۷. شمسی پور، علی اکبر، شیخی، محمد (۱۳۸۹)، پهنه‌بندی مناطق حساس و آسیب‌پذیری محیطی در ناحیه غرب فارس، با روش طبقه بندی فازی و فرایند تحلیل سلسله مراتبی، *فصلنامه پژوهش‌های جغرافیا طبیعی*، شماره ۷۳
۸. شیرانی، کورش، هاشمی جزی، محمد رضا، نیک نژاد، علی، رخشان، سلیمان (۱۳۹۱)، پهنه‌بندی پتانسیل خطر زمین لغزش به روش تحلیل سلسله مراتبی AHP و رگرسیون چند متغیره (MR) مطالعه موردی سراب حوضه رودخانه کارون شمالی، نشریه مرتع و آبخیز داری (مجله منابع طبیعی)، دوره ۵۵ شماره ۳، پاییز ۱۳۹۱.
۹. صدوق، حسن - آرایش احمدی سرائی، سمیرا (۱۳۸۷) پهنه‌بندی خطر زمین لغزش در باغ‌های چای (جنوب لاهیجان و لنگرود) *فصلنامه جغرافیا*، شماره ۱۷
۱۰. عظیم پور، علیرضا و همکاران (۱۳۸۸) ارزیابی نتایج مدل AHP در پهنه‌بندی خطر زمین لغزه (حوضه آبریز اهرچای) *فصلنامه فضای جغرافیایی*، سال نهم، شماره ۲۶
۱۱. عقیقی، میثم محمد علی رجبی (۱۳۹۰) ارائه روش نوین جهت شناسایی نقاط حادثه خیز جاده‌ای با استفاده از GIS و استنتاج فازی (مطالعه موردی محور کوهین-لوشان)، *نشریه علمی پژوهشی علوم و فنون نقشه‌برداری*، دوره اول، شماره ۲
۱۲. فرداد، مهدی، آشیخ، علی اصغر، حکیم پور، فرشاد و علیرضا وفایی نژاد (۱۳۹۰)، پهنه‌بندی حساسیت خطرزدی لغزش با روش‌های منطق فازی (Fuzzy) شبکه عصبی Neural Network در GIS، *مطالعه موردی منطقه مال خلیفه*، پانزدهمین همایش انجمن زمین‌شناسی ایران
۱۳. کریمی، تورج، صادقی مقدم، محمدرضا (۱۳۹۳)، *مجموعه‌های راف و مجموعه‌های خاکستری*، چاپ اول، انتشارات، موسسه کتاب مهریان نشر.
۱۴. ملکیان، آرش، حسن پور، سیروس، فرجی سبکبار، حسنعلی، سید کاظم علوی پناه، رحیمی، سعید (۱۳۹۲)، *کاربرد و مقایسه مدل‌های تحلیل خوش‌بندی خاکستری و آنالیز سلسله مراتبی در مکان یابی عرصه‌های مناسب پخش سیالاب حوزه آبخیز گربایگان*، نشریه علوم و مهندسی آبخیزداری ایران، سال هفتم، شماره ۲۰.

۱۵. مهدوی، مسعود، کریم زاده، حسن (۱۳۸۵) پنهانه بندی بخش مرکزی شهرستان ورزقان برای مکان یابی مراکز خدمات روتاستی با استفاده از GIS، فصلنامه پژوهش های جغرافیایی، شماره ۵۵.

16. Deng, J. L., (1982) "Control problems of grey system" *Systems and Control letters*, 1, 288-294.
17. Fung, C. P. (2003) "Manufacturing process optimization for wear property of fiber-reinforced polybutylene terephthalate composites with grey relational analysis" *Wear*, 254, 298–306.
18. Intarawichian, N., Dasananda, S., (2010). "Analytical hierarchy process for landslide susceptibility mapping in Lower Mae Chaem watershed, Northern Thailand", *Suranaree J. Sci. Technol.*, Vol. 17(3), pp. 277-292.
19. Huang, J. T., & Liao, Y. S. (2003) "Optimization of machining parameters of Wire-EDM bases on grey relation and statistical analysis" *International Journal of Production Research*, 41, 1707–1720
20. Mora'n, J., Granada, E., Mi'guez, J. L., & Porteiro, J. (2006) "Use of grey relational analysis to assess and optimize small biomass boilers" *Fuel Processing Technology*, 87, 123–127
21. Biswajeet P. (2010), Landslide susceptibility assessment and factor effect analysis:backpropagation artificial neural networks and their comparison with frequency ratio and bivariate logistic regression modeling Original Research Article, Environmental Modeling & Software, Volume 25, Issue 6, Pages 747-759.
22. Shivani C. (2010), Landslide Susceptibility Zonation through ratings derived from Artificial Neural Network Original Research Article. International Journal of Applied Earth Observation and Geo-information, Volume 12, Issue 5, October 2010, Pages 340-350
23. Undro, Guidelines for disaster prevention vol 1 , pre-Disaster physical planning of
24. human settlements . 1976
25. Mutreja, K N. 1994 . Applied Hydrology(Third Print). Published by Tata McGraw-Hill Publishing Company Limited.